

Глумов В.М., Суханов В.М.

## ОБЕСПЕЧЕНИЕ ЗАХВАТА ЦЕЛИ МАНИПУЛЯТОРОМ СВОБОДНОЛЕТАЮЩЕГО КОСМИЧЕСКОГО РОБОТА

### Введение

Наиболее серьезные проблемы управления космическими роботами-манипуляторами (КРМ) возникают при решении задач манипуляционного захвата цели или установки полезного груза в заданную точку инерциального (внешнего) пространства в режиме свободного дрейфа [1]. Задача управления движением концевой точки манипулятора (схвата) в процессе достижения целевой точки в этом режиме является непростой из-за ограниченного подвижного рабочего пространства, в котором осуществляются манипуляционные операции; наличия динамических сингулярностей, нарушающих условия технической управляемости КРМ; траекторной неоднозначности достижения цели; неоднозначности результирующего положения корпуса при одном и том же конечном положении схвата в инерциальном пространстве [2, 3].

Методы управления манипулятором с использованием планирования траектории схвата в применении к свободнолетающим КРМ неработоспособны при наличии внешних сил и моментов, действующих на космический робот, поскольку базируются на принципах разомкнутого (программного) управления. Рассматривается подход к управлению манипулятором свободнолетающего КРМ, реализуемый в классе систем с обратной связью и основанный на оценке отклонения схвата от целевой точки. Предполагается, что источник первичной информации – система технического зрения (СТЗ), которая позволяет определить направление линии визирования на цель и расстояние до нее.

Для обеспечения выполнения операций манипуляционного функционирования, в том числе захвата пассивной цели КРМ необходимо решать следующие основные задачи:

- текущее оценивание координат отклонения схвата от цели по измерениям СТЗ;
- определение и формирование рабочего пространства КРМ;
- определение требуемого начального состояния КРМ при сближении с рабочей зоной, содержащей целевую точку.

## 1. Оценивание координат отклонения схвата от цели

Рассматривается свободнолетающий КРМ, состоящий из корпуса и трехзвенного манипулятора с вращающимися степенями свободы. На корпусе установлена СТЗ, состоящая из шарнирно связанной с корпусом видеокамерой со встроенной в нее лазерным дальномером. Текущая конфигурация механической системы КРМ, обозначение координат и положение точки цели представлены на рис. 1.

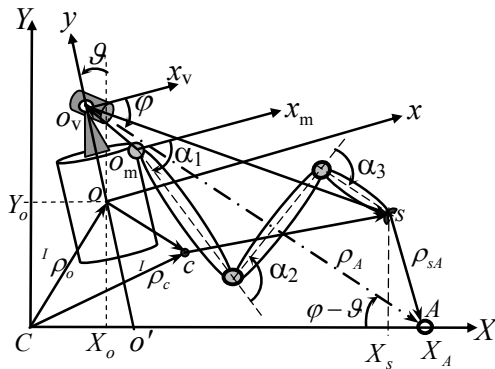


Рис. 1.

Для описания плоского движения КРМ используются системы координат:

- СХУ – инерциальная;
- Оху – связанная с корпусом КРМ;
- $O_m x_m y_m$  – манипулятора, с началом в центре вращения корневого шарнира;
- $O_v x_v y_v$  – подвеса видеокамеры СТЗ.

Точка цели обозначена "А", "s" – концевая точка схвата, "с" – центр масс КРМ.

Регулируемыми координатами при манипуляционном захвате цели являются отклонения  $X_\Delta(t) = X_s(t) - X_A$ ,  $Y_\Delta(t) = Y_s(t) - Y_A$  и скорости их изменения. При определении оценок  $\hat{X}_\Delta(t)$ ,  $\hat{Y}_\Delta(t)$  предполагаются измеряемыми угол наклона оптической оси видеокамеры  $\varphi$ , угловое положение корпуса в инерциальной системе координат  $\vartheta$  и расстояние  $|\rho_A| = \overline{O_v A}$  до цели.

Из геометрических соотношений в соответствии с рис. 1 получены выражения для оценок  $\hat{X}_\Delta = \overline{sA} \cos(\angle sAC)$ ,  $\hat{Y}_\Delta = \overline{sA} \sin(\angle sAC)$ , где  $\overline{sA} = \overline{O_v s} \frac{\sin \gamma}{\sin(\angle sAO_v)}$ ,

$\angle sAC = \varphi - \vartheta + \arctg\left(\frac{\overline{O_v s} - \overline{O_v A}}{\overline{O_v s} + \overline{O_v A}} \operatorname{ctg} \frac{\gamma}{2}\right) + \frac{\pi - \gamma}{2}$ ,  $\gamma = \varphi - \arctg \frac{x_s}{y_s + y_{ov}}$ ,  $x_s, y_s$  – координаты

точки s в связанной системе координат,  $y_{ov} = \overline{O_v O}$ .

## 2. Формирование рабочего пространства

Использование обратной связи при манипуляционном функционировании свободнолетающего КРМ требует определять рабочее пространство (РП) робота с учетом ограниченного диапазона значений углов ориентации относительно направления на цель. Задача определения РП космических манипуляционных роботов рассматривалась в [1].

Для свободнолетающего КРМ целесообразно определять в инерциальном пространстве, заданном системой координат СХУ, свободное РП, которое представляет собой ограниченную область ( $W$ -область), каждая точка которой является манипуляционно достижимой для концевой точки "s" без каких-либо требований к ориентации корпуса робота.

Пусть в инерциальном пространстве (рис. 1) при  $t(0) = t_0$  заданы начальное положение корпуса КРМ  $q_0^o = (X_{o0}, Y_{o0}, \mathcal{G}_0)^T$  и начальная конфигурация манипулятора  $q_0^\alpha = (\alpha_1^0, \alpha_2^0, \alpha_3^0)^T$ , соответствующие моменту  $t_0$  "зависания" робота на предполагаемой границе рабочей зоны. При этом производные  $\dot{q}_0^o = 0$  и  $\dot{q}_0^\alpha = 0$ . Внешние возмущения и управление корпусом отсутствуют. Конечное состояние  $q_k$  получается из начального  $q_0$  в результате манипуляционного перевода схвата в предельно удаленное от корневой точки манипулятора  $O_m$  положение  $q_k^\alpha = (\alpha_1^k, \alpha_2^k = 0, \alpha_3^k = 0)$ , соответствующее вытянутому положению манипулятора вдоль произвольно заданного положения  $(\alpha_1^k)$  оси первого звена. Предполагается, что подобная процедура реализует максимально возможное перемещение характерной точки "s" в инерциальном пространстве из начального положения, определяемого вектором  $\rho_{sA0} = (X_{s0}, Y_{s0})$ , в конечное положение  $\rho_{sAk} = (X_{sk}, Y_{sk})$ . В конечном положении манипулятора точка "s" принадлежит границе  $W$ -области, а норма вектора разности  $\rho_{a\Delta} = (\rho_{ak} - \rho_{a0})$  может быть принята в качестве ее локального размера.

Для  $i$ -го фиксированного значения  $\mathcal{G}_0^i$  существует секторное подпространство  $W_i$  рабочей области КРМ, определяемое с помощью  $w_1$ -границы, образованной конечным множеством точек  $s_{kn}, n = 1, 2, \dots, N$ , построенных для  $N$  процессов траекторного перемещения точки "s" в инерциальном пространстве при переводе манипулятора из единого начального состояния КРМ  $q_0 = (q_0^o, q_0^\alpha)$  в состояния  $q_k^\alpha = (\alpha_{1n}^k, 0, 0)$ .

На рис. 2 приведен пример компьютерного построения секторного РП для  $\mathcal{G}_0^i = 0$  в случае последовательного перемещения звеньев вида  $(\alpha_1^0 \rightarrow \alpha_{1n}^k, \alpha_2^0 \rightarrow 0, \alpha_3^0 \rightarrow 0)$  при  $N = 9$ . Внешняя  $w_1$ -граница секторного РП, замкнутого двумя траекториями движения концевой точки  $\overline{s_0 s_{k1}}$  и  $\overline{s_0 s_{k9}}$ , соответствующими левой и правой границам интервала

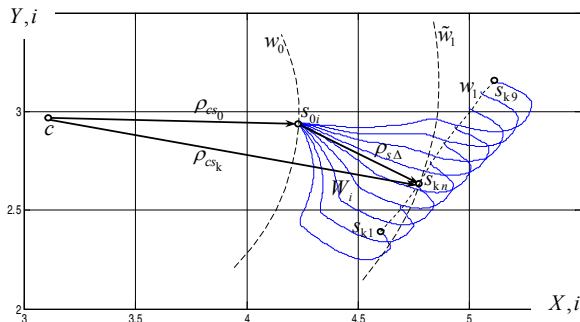


Рис. 2.

$(\alpha_{1\min}^k, \alpha_{1\max}^k)$ , может быть заменена дугой окружности  $\tilde{w}_i$  радиуса  $r_{cs_k} = |\rho_{cs_0} + \rho_{s\Delta}^{\min}|$  с центром в точке  $c$ , где  $\rho_{s\Delta}^{\min}$  – радиус-вектор минимальной длины на множестве из  $N = 9$  векторов, связывающих точки  $s_{0i} \rightarrow s_{kn}$ . Множество секторных РП, соответствующих множеству значений

$\mathcal{G}_0^i, i = \overline{1, M}, M = \text{const}$ , образуют в инерциальном пространстве полномерную рабочую область КМР, имеющую кольцевую структуру вокруг центра инерции КМР  $c$ . Пример компьютерного построения  $W$ -области для случая 4-х секторов, соответствующих значениям  $\mathcal{G}_0^i \in \{0; \pi/2; \pi; 3\pi/2\}$ , приведен на рис. 3. Внешняя граница  $w_2$  образована последовательностью конечных положений точек  $s_{k\bar{n}}$ . РП заполнено множеством сколь

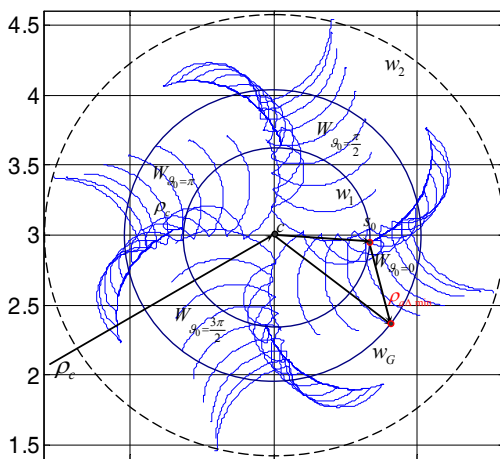


Рис. 3

угодно близко расположенных друг относительно друга траекторий характерной точки "s". Это гарантирует возможность манипуляционной достижимости всех точек сформированной указанным способом рабочей области КМР. Суженное кольцевое подпространство  $W_G \subset W$ , в котором внешняя граница  $w_2$  заменена окружностью  $w_G$  с центром в точке  $c$  и с радиусом  $r_G = |\rho_{a0} + \rho_{a\Delta\min}|$ , является гарантированным РП.

### 3. Определение требуемого начального положения КРМ

Для проведения манипуляционных операций КРМ необходимо обеспечить выход робота на границу РП, содержащую целевую точку  $A$ , и привести его в начальное

положение, гарантирующее манипуляционное достижение цели. Для обеспечения перехода КРМ в требуемое начальное положение необходимо решить две задачи:

- определение расстояния  $d^* = (\overline{O_v A})^*$ , при котором цель  $A$  становится манипуляционно достижимой;
- определение требуемого угла ориентации корпуса  $\mathcal{G}_0^i = \mathcal{G}_0^*$ , при котором секторное пространство КРМ содержит целевую точку  $A$ .

В предположении, что геометрические параметры РП, в том числе радиус  $r_{cs_k}$ , оперативно могут быть вычислены, первая задача решается из условия: граница  $\tilde{w}_1$  в точке «зависания» КРМ на расстоянии  $d^*$  в предельном случае должна проходить через точку  $A$ . Этому условию соответствует неравенство

$$(X_A - X_c)^2 + (Y_A - Y_c)^2 \leq r_{cs_k}^2.$$

В инерциальной системе СХУ имеем

$$X_c = X_o + x_{c0} \cos \mathcal{G}_0 - y_{c0} \sin \mathcal{G}_0, Y_c = Y_o + x_{c0} \sin \mathcal{G}_0 + y_{c0} \cos \mathcal{G}_0, \quad (1)$$

где  $X_o = X_A + y_v \sin \mathcal{G}_0 - d \frac{\cos \varphi + \sin(\varphi - \mathcal{G}_0) \sin \mathcal{G}_0}{\cos \mathcal{G}_0}$ ,  $Y_o = d \sin(\varphi - \mathcal{G}_0) - y_v \cos \mathcal{G}_0$ ,  $x_{c0}, y_{c0}$  – координаты точки  $c$  в связанной системе координат  $Oxy$ .

На основе (1) формируется квадратное уравнение относительно  $d$ , решение которого  $d^*$  определяет требуемое расстояние от точки «зависания» КРМ до цели  $A$ .

Оптимальное значение угла  $\mathcal{G}_0^*$  соответствует минимальному расстоянию от точки  $s_0$  до цели  $A$  при  $d^*$ . Поскольку изменение угла  $\mathcal{G}_0$  осуществляется путем разворота КРМ относительно центра масс  $c$ , то данное минимальное расстояние возникает при направлении вектора  $\rho_{cs_0}$  на целевую точку  $A$ . Для такого положения КРМ справедливо трансцендентное уравнение относительно угла  $\mathcal{G}_0$

$$\frac{Y_A - Y_o - x_{c0} \sin \mathcal{G}_0 - y_{c0} \cos \mathcal{G}_0}{X_A - X_o - x_{c0} \cos \mathcal{G}_0 + y_{c0} \sin \mathcal{G}_0} = \frac{(x_{s0} - x_{c0}) \sin \mathcal{G}_0 + (y_{s0} - y_{c0}) \cos \mathcal{G}_0}{(x_{s0} - x_{c0}) \cos \mathcal{G}_0 - (y_{s0} - y_{c0}) \sin \mathcal{G}_0}. \quad (2)$$

Уравнение (2) имеет два решения, из которых необходимо выбрать значение  $\mathcal{G}_0^*$ , обеспечивающее наименьшее начальное отклонение концевой точки манипулятора  $s_0$  от цели  $A$ :

$$\min_{\mathcal{G}_0} \left\{ (X_A - X_s(\mathcal{G}_0))^2 + (Y_A - Y_s(\mathcal{G}_0))^2 \right\} \rightarrow \mathcal{G}_0^*.$$

Предварительный разворот свободно летающего КРМ в угловое положение  $\mathcal{G}_0^*$  обеспечивает нахождение цели  $A$  в секторном РП, что позволяет перейти в режим выполнения операций при манипуляционном функционировании робота, в том числе к захвату цели.

### **Заключение**

Предложенные в работе решения задач, обеспечивающие захват цели свободнолетающим КРМ, позволяют реализовать подход к управлению в режиме манипуляционного функционирования на основе систем с обратной связью.

Работа выполнена при финансовой поддержке Российского фонда фундаментальных исследований (проект № 17-08-01708).

### **Библиографический список**

1. Dubowsky S. The Kinematics, Dynamics, and Control of Free-Flying and Free-Floating Space Robotic Systems [Текст] / Dubowsky S., Papadopoulos E. // IEEE Transactions on Robotics and Automation. – 1993. – V. 9. – No 5. – P. 531-543.
2. Глумов В.М. Техническая управляемость автоматизированного космического модуля [Текст] / Глумов В.М., Земляков С.Д., Рутковский В.Ю., Суханов В.М. // Автоматика и телемеханика. – 2001. – № 3. – С. 31-44.
3. Васильев С.Н. Проблемы управления сложными динамическими объектами авиационной и космической техники: монография [Текст]/ Васильев С.Н. и др.; под ред. акад. РАН С.Н. Васильева. – М.: Машиностроение, – 2015. –519 с.